И. В. ДРОБЕЦКАЯ, И. Н. ЧУБЧИКОВА, А. Б. БОРОВКОВ, Г. С. МИНЮК

ОПРЕДЕЛЕНИЕ СОДЕРЖАНИЯ АСТАКСАНТИНА И КАНТАКСАНТИНА У ЗЕЛЁНЫХ МИКРОВОДОРОСЛЕЙ МЕТОДОМ ТОНКОСЛОЙНОЙ ХРОМАТОГРАФИИ

Предложен новый вариант методики определения содержания астаксантина и кантаксантина в биомассе зелёных микроводорослей-продуцентов кетокаротиноидов с использованием последовательной одномерной тонкослойной хроматографии на пластинах ПТСХ-АФ-А в двух системах растворителей.

Ключевые слова: микроводоросли, астаксантин, кантаксантин, тонкослойная хроматография

В скрининговых исследованиях по выявлению новых перспективных продуцентов астаксантина (АСТ) и кантаксантина (КАН) – кетокаротиноидов (ККР), успешно применяемых в аквакультуре, медицине, пищевой и косметической промышленности [6, 14. 27], - важнейшее значение имеет корректное определение их содержания в получаемой биомассе. Явление вторичного каротиногенеза отмечено в экстремальных условиях у многих видов зелёных микроводорослей [3, 12, 17, 20, 25, 31, 32], которые, благодаря способности к быстрому росту, могут составить альтернативу известному промышленному продуценту АСТ Haematococcus pluvialis. Если у последнего преобладает путь синтеза АСТ с практически полным превращением интермедиатов в конечный продукт (эфиры ACT) [15, 24], то пигментный состав представителей других порядков Chloroрһусеае из-за функционирования сразу нескольких биосинтетических путей представлен сложной смесью метаболических предшественников АСТ (адониксантин, адонирубин, гидроксиэхиненон, эхиненон, криптоксантин и др.) [16, 23, 27, 30]. Распространённая методика тонкослойной хроматографии (TCX) (пластины «Silufol», система ацетон – гексан 25 : 75 [22]), вполне приемлемая для анализа содержания вторичных каротиноидов (КР) у H. pluvialis [2], оказалась малоэффективной в отношении других видов водорослей из-за неудовлетворительного отделения фракций АСТ и КАН от вышеуказанных промежуточных метаболитов.

В данной работе предлагается более универсальный вариант методики определения АСТ и КАН с помощью ТСХ на силикагеле, разработанный нами применительно к различным видам Chlorophyceae.

Материал и методы. Для исследований использовали виды из экспериментального фонда культур микроводорослей-продуцентов ККР (полученные из коллекций Киевского национального университета им. Т. Г. Шевченко, Института физиологии растений РАН, Санкт-Петербургского государственного университета), принадлежащие к трем порядкам Chlorophyceae (по [1]): Scenedesmales — *Bracteacoccus giganteus* Bischoff et Bold 1963 (IBSS-87 = ACKU 461-06), *Bracteacoccus minor* (Chodat) Petrova 1931 (IBSS-88 = ACKU 506-06), *Chlorella zofingiensis* Donz 1934 (IBSS-20 = CALU-190), *Scenedesmus rubescens* Dangeard 1966 (IBSS-93 = ACKU 647-06), *Scotiellopsis rubescens* Vinatzer 1975 (IBSS-12 = IPPAS H-350); Protosiphonales — *Pseudospongiococcum protococcoides* Громов 1962 (IBSS-10 = CALU-221) и Volvocales — *Ettlia carotinosa* Komarek 1989 (IBSS-91 = ACKU 573-06), *Haematococcus pluvialis* Flotow emend. Wille 1844 (IBSS-16 = LABIK 927-1).

20-50 мл культуры микроводорослей с содержанием сухого вещества 0.5-1.5 г·л⁻¹ центрифугировали (5 мин при 2-4 тыс. об·мин⁻¹, в зависимости от вида водорослей) и промывали осадок клеток дистиллированной водой при том же режиме центрифугирования. Пробирки с сырой биомассой хранили до анализа в морозильной камере не более 3-5 дней. Пигменты экстрагировали 100% ацетоном с ионолом (0.01%), растирая биомассу в фарфоровых ступках с кварцевым песком (в вытяжном шкафу при рассеянном свете) или размалывая в вибрационной мельнице Retsch MM 301

© И. В. Дробецкая, И. Н. Чубчикова, А. Б. Боровков, Г. С.Минюк, 2009

(троекратно по 3 мин при частоте 25 Γ ц). Объединённые после центрифугирования (5 мин при 4000 об мин $^{-1}$) порции экстракта упаривали под вакуумом при 30 – 40 °C, подсушивали в токе N_2 и перерастворяли в 0,5 – 1,0 мл ацетона. Полученные пробы использовали в методических работах по оптимизации хроматографического разделения и идентификации фракций АСТ и КАН у исследуемых видов.

Хроматографические пластины («Silufol» UV-254, «Sorbfil» ПТСХ-АФ-А и ПТСХ-АФ-В) перед анализом активировали в сушильном шкафу (30 мин при 100° С). Системы растворителей готовили из свежеперегнанных реактивов марок чда, хч. Были апробированы методики, рекомендованные различными авторами для отдельных видов-продуцентов ККР [4, 23, 27, 31, 32], основанные на однократной разгонке проб (в системах ацетон – гексан; этилацетат – бензол и др.) или двухкратной последовательной ТСХ в неполярных и полярных системах на пластинах «Silufol» и «Sorbfil». Ни один из вариантов не дал удовлетворительного разделения фракций. С целью оптимизации методики нами были испытаны другие варианты систем растворителей на основе гексана, бензола, ацетона.

Первичную оценку состава КР микроводорослей проводили путем сравнения хроматограмм их экстрактов с хроматограммами экстрактов зрелых апланоспор *H. pluvialis* и по совместной хроматографии со стандартами. Стандарт КАН получали из цист *Artemia* sp., свободного АСТ – из апланоспор *H. pluvialis* путем омыления эфиров АСТ [28], а также из мышц *Salmon salar*; моно- и диэфиров АСТ – из зрелых апланоспор *H. pluvialis*. Дальнейшую идентификацию фракций, сходных по хроматографической подвижности с АСТ и КАН, осуществляли по химическим тестам на наличие кето- и гидроксогрупп и спектрам поглощения в различных растворителях [28], регистрируемых на приборе СФ-2000.

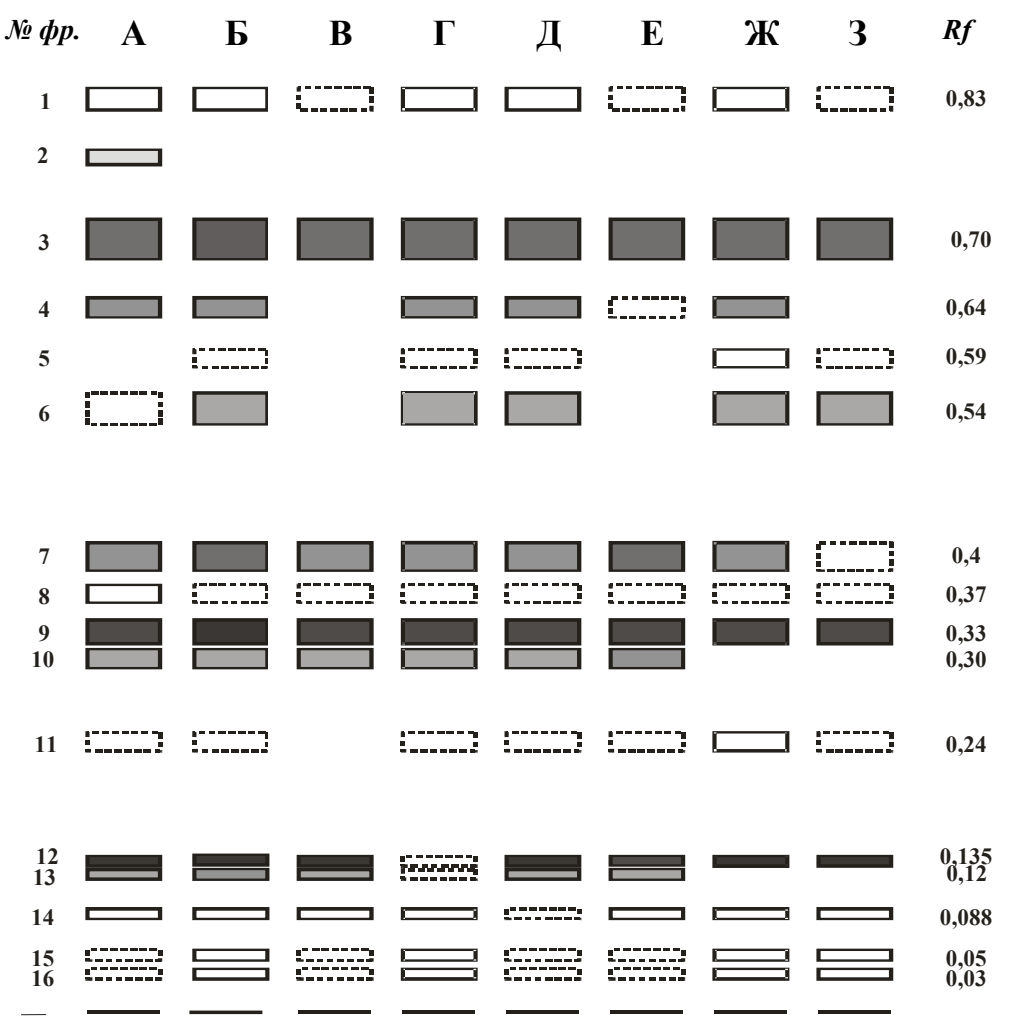
Результаты и обсуждение. Наилучшее разделение КР водорослевых экстрактов было достигнуто при последовательной ТСХ на пластинах «Sorbfil» ПТСХ-АФ-А (10 х 20) с использованием собственной модификациии систем растворителей: 1) гексан-ацетон 9 : 1 (v/v) и 2) гексан-бензол-ацетон 5 : 3,75 : 0,8 (v/v) (рис. 1). Этот вариант обладает высокой разрешающей способностью, позволяет нивелировать отрицательное влияние липидов на разделение КР, четко разграничить первичные и вторичные КР, обнаружить ряд промежуточных продуктов биосинтеза АСТ и отделить наиболее важные фракции ККР (моно- и диэфиры АСТ и КАН). У исследованных видов при помощи этой методики выявлено от 11 до 14 фракций (фр.) КР, две из которых являются первичными КР (β-каротин и лютеин), а остальные относятся к группе ККР, что подтверждается положительной качественной реакцией с боргидридом натрия (NaBH₄) [10, 28]. Минорные полярные фракции ККР, имеющие близкие Rf, перед проведением идентификационных тестов собирали с нескольких пластин, концентрировали и дополнительно разделяли в более полярных системах, например, этилацетат-бензол 3 : 7 (v/v) или гексан-бензол-ацетон 5 : 4 : 1,5 (v/v).

Сравнительный анализ фр. № 3, 9, 12 и 7 и их предполагаемых стандартов (соответственно, диэфиров АСТ, моноэфиров АСТ, свободного АСТ и КАН) по хроматографической подвижности и спектральным характеристикам выявил полное совпадение литературным данным их Rf (0,70, 0,33, 0,135 и 0,4, соответственно) (см. рис. 1), идентичность абсорбционных спектров в различных растворителях (рис. 2) и соответствие величин характеристических максимумов поглощения в этих спектрах (табл. 1).

Величины гипсохромных сдвигов в спектрах фр. № 3, 9, 12 (24 – 26 нм) и фр. № 7 (17 – 19 нм) после реакции с $NaBH_4$ (рис. 3), указывающие на наличие в молекулах КР двух сопряжённых кетогрупп, соответствовали данным, полученным для АСТ [18] и КАН [10].

Анализ приведённых выше характеристик фракций № 3, 7, 9, 12 служит основанием для утверждения об отсутствии в них примесей и последующей идентификации как: фр. № 3 — диэфиры АСТ, фр. № 7 — КАН, фр. № 9 — моноэфиры АСТ, фр. № 12 — свободный АСТ. Дополнительно об этом свидетельствуют результаты реакции ацетилирования (теста на наличие гидроксо-групп [28]), которая была отрицательна для фр. № 7 и положительна для фр. № 12 (с увеличением Rf за счет образования моно- и диацетата АСТ).





Линия старта

Рисунок 1. Схема хроматограмм ацетоновых экстрактов пигментов различных видов Chlorophyceae: А – Chlorella zofingiensis; Б – Scotiellopsis rubescens; В – Scenedesmus rubescens; Г – Bracteacoccus minor; Д – Bracteacoccus giganteus; Е – Pseudospongiococcum protococcoides; Ж – Ettlia carotinosa; З – Haematococcus pluvialis. 1 – β -каротин, 2, 4, 5, 6, 8,10, 11, 13 – неидентифицированные (неид.) ККР, 3 – диэфиры АСТ, 7 – КАН, 9 – моноэфиры АСТ, 12 – свободный АСТ, 14 – лютеин/зеаксантин, 15 – ХЛ a, 16 - ХЛ a. Пунктирной линией отмечены фракции в следовых количествах

Figure 1. The scheme of thin-layer chromatograms of acetone-extracted pigments from different Chlorophyceae species: A – Chlorella zofingiensis; B – Scotiellopsis rubescens; B – Scenedesmus rubescens; C – Bracteacoccus minor; C – Bracteacoccus giganteus; C – Pseudospongiococcum protococcoides; C – Ettlia carotinosa; C – Haematococcus pluvialis. C – C – Carotene, C 4, 5, 6, 8, 10, 11, 13 – unidentified ketocarotenoids (uniden. KC), C – astaxanthin (AST) diesters, C – canthaxanthin, C – AST monoesters, C – free AST, C – lutein/zeaxanthin, C – chlorophyll C – chlorophyll C . The fractions with trace amounts of pigments are indicated by a dotted line

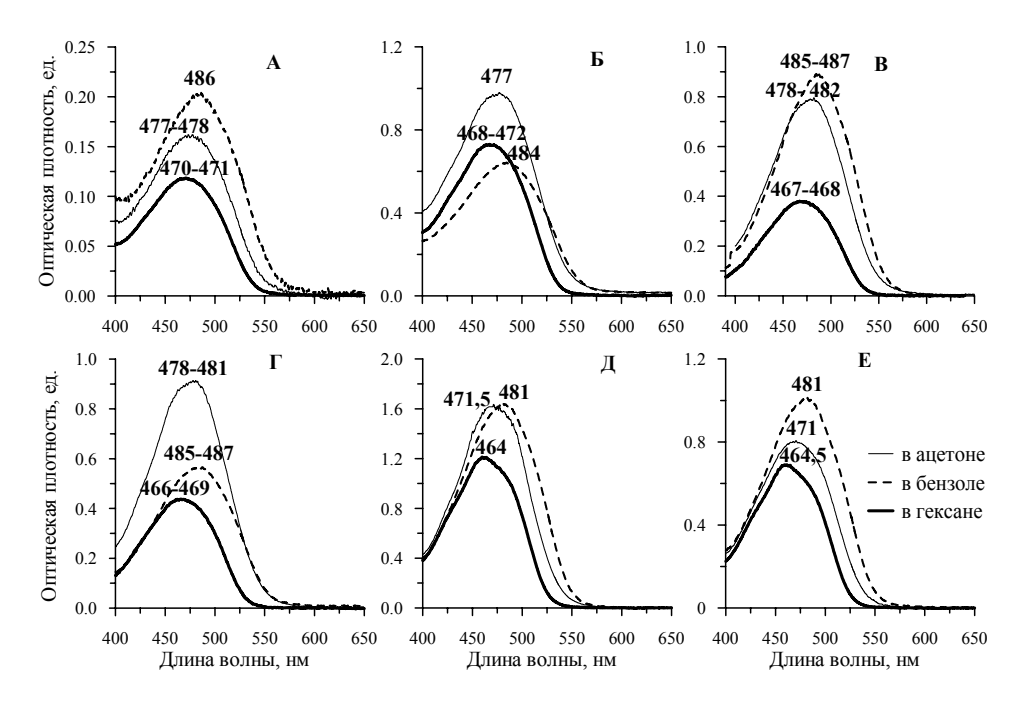


Рисунок 2. Абсорбционные спектры в различных растворителях стандарта свободного астаксантина (A), стандарта кантаксантина (E) и фракций 12 (Б), 9 (B), 3 (Γ), 7 (Д) Figure 2. Absorbtion spectra in different solvents of free astaxanthin standard (A), canthaxanthin standard (E) and fractions 12 (Б), 9 (В), 3 (Γ), 7 (Д)

Таблица 1. Максимумы в абсорбционных спектрах кетокаротиноидов в различных растворителях

Table 1. Absorbtion maximums of ketocarotenoid spectra in different solvents

	Максимумы в спектрах поглощения, нм					
Фракция	гексан		бензол		ацетон	
	эксперим.	литерат.	эксперим.	литерат.	эксперим.	литерат.
	данные	данные	данные	данные	данные	данные
АСТ свобод-	470 - 471	472 [23]	484 - 486	484 [23,	477 - 478	477 [23]
ный, стандарт		468 [19,		26, 31]		480 [8, 19,
Фр. № 12 из	468 - 472	26]	484	485 [8, 28]	477	28]
S. rubescens		469 [31]				475 [17, 31]
Фр. № 9 из	469 - 471		484 - 486		476 - 478	
S. rubescens,						
C. zofingiensis Фр. № 9 из	467 – 468		485 – 487		478 – 482	
E. carotinosa	407 – 408		463 – 467		4/0-402	
Фр. № 3 из	468 - 469	468 [21]	484 - 487	486 [21]	476 - 478	
C. zofingiensis,						
S.rubescens						
Фр. № 3 из E. carotinosa	466 – 469		485 – 487		478 - 481	
КАН, стандарт	464 - 465	466 [31]	481	478 [31]	471	468 [17]
Фр. № 7 из		467 [23]		480 [23]		471,5 [19]
C. zofingiensis,	464	464 – 465	481	484 [8]	471 - 471,5	
S. rubescens		[11]				19, 31]

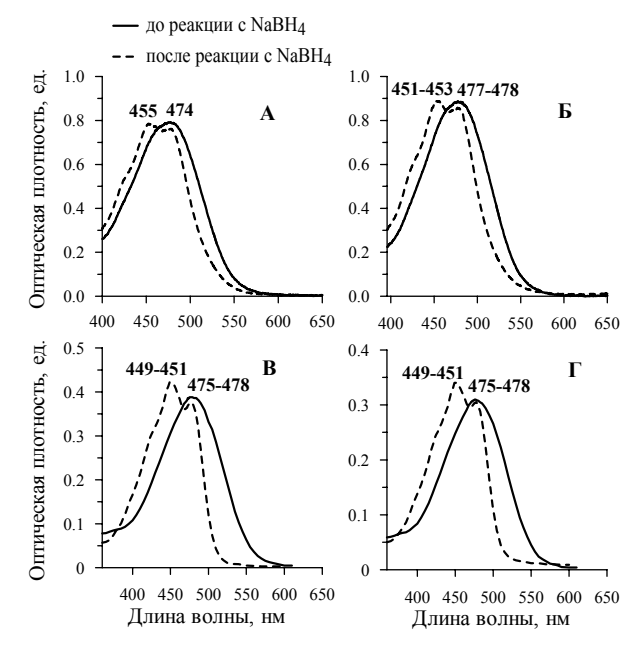


Рисунок 3. Изменение абсорбционных спектров кетокаротиноидов из зелёных микроводорослей после реакции восстановления с NaBH₄ в 95%-ном этаноле: А – кантаксантин (фр. № 7), Б – свободный АСТ (фр. № 12), В – моноэфиры АСТ (фр. № 9), Γ – диэфиры АСТ (фр. № 3) Figure 3. Changes of visible light

absorbtion spectra of green microalgae ketocarotenoids after reduction with NaBH₄ in 95% ethanol: A – canthaxanthin (fraction №7), B – free astaxanthin (AST) (fraction №12), B – AST monoesters (fraction № 9), Γ – AST diesters (fraction № 3)

Остальные фракции ККР еще предстоит точно идентифицировать с помощью всего комплекса общепринятых спектроскопических, химических и хроматографических методов [7, 28], что на данный момент затруднено из-за отсутствия соответствующих стандартов. Неид. ККР фр. № 2, 4, 10, 13, судя по величине гипсохромных сдвигов (7 – 9 нм), являются монокетокаротиноидами. Изменение абсорбционных максимумов в зависимости от растворителя (табл. 2), а также величины Rf (см. рис. 1), позволяют предположить, что фр. № 2 – эхиненон; фр. № 4 – эфиры гидроксиэхиненона; фр. № 5 – диэфиры адониксантина, фр. № 6 – эфиры адонирубина, фр. № 10 – моноэфиры адониксантина, фр. № 11 – свободный адонирубин, фр. № 13 – свободный адониксантин. Проверка правильности этого предположения будет выполнена в следующих наших исследованиях.

Таблица 2. Максимумы в абсорбционных спектрах неидентифицированных кетокаротиноидов в различных растворителях

Table 2. Absorbtion maximums of unidentified ketocarotenoid spectra in different solvents

	Максимумы в спектрах поглощения, нм					
Фракция	гексан	бензол	ацетон			
Фр. № 2	459 (482)	471 (491)	461 (474)			
Фр. № 4	452-454 (475)	470 (490)	457 (481)			
Φp. № 5	459-462	476-477	465-468			
Фр. № 6	462-463	483-487	479-481			
Фр. № 10	453-454 (471)	463-466 (482-483)	455-460 (472)			
Фр. № 11	461-465	482-485	468-478			
Фр. № 13	452-454 (475)	464-467 (482-483)	454-457 (475)			

Примечание: в скобках указано плечо.

Четкое разделение фракций ККР при использовании новой методики ТСХ позволяет проводить анализ содержания АСТ и КАН в подготовленных пробах по следующей схеме. Одну аликвоту из пробы (0,05-0,10~мл) наносят на пластину, а другую растворяют в определённом объёме 80% ацетона (5-10~мл) для спектрофотометрического определения содержания суммарных КР по уравнениям [29]: [КР] = $(1000~\text{D}_{470}-3,27~\text{[Xл}~a]-104~\text{[Xл}~в])/198$; [Хл a] = $12,21~\text{D}_{663}-2,81~\text{D}_{646}$; [Хл s] = $20,13~\text{D}_{646}-5,03~\text{D}_{663}$; где [КР],

 $[Xл\ a], [Xл\ в]$ — концентрации суммарных КР, хлорофиллов (Хл) a и s (мкг/мл) в ацетоновом экстракте, а D_{470}, D_{663} и D_{646} — экстинкции экстракта (ед.опт. пл.) на максимумах поглощения КР, Хл a и s, соответственно. Фракции АСТ и КАН элюируют 100% ацетоном, измеряют объемы и экстинкции элюатов в области характеристических максимумов поглощения в 100% ацетоне. Для расчёта концентрации АСТ используют коэффициент удельной экстинкции 2177,4 [13], КАН — 2200 [19] с последующим определением относительного содержания АСТ и КАН в суммарных КР (%).

Заключение. Предлагаемый вариант TCX с использованием модифицированных систем растворителей обеспечивает хорошее разделение фракций вторичных КР у различных видов зеленых микроводорослей. Данная методика позволяет корректно количественно определять содержание АСТ и КАН в биомассе видов-продуцентов.

- 1. *Костіков І. Ю., Романенко П. О., Демченко Е. М.* і інш. Водорості грунтів України (історія та методи дослідження, система, конспект флори). Київ: Фітосоціоцентр, 2001. 300 с.
- 2. *Минюк Г. С., Терентьева Н. В., Дробецкая И. В.* Сравнительная характеристика морфологических и физиолого-биохимических признаков трех штаммов *Haematococcus pluvialis* Flotow (Chlorophyta, Chlamydomonadales) // Альгология. 2007. 17, № 2. С. 148 159.
- 3. *Чубчикова И. Н., Минюк Г. С., Дробецкая И. В.* и др. Хлорококковые микроводоросли как потенциальный источник природных кетокаротиноидов // Экология моря 2009. Вып. 77 С. 77 83.
- 4. *Antia*, *N.J. & Cheng*, *J.Y*. The keto-carotenoids of two marine coccoid members of the Eustigmato-phyceae // British Phycol. J. 1982. 17. P. 39 50.
- Bhosale P., Bernstein P.S. Microbial xanthophylls //Appl Microbiol Biotechnol. 2005. 68, No 4. – P. 445 – 455
- 6. *Bjerkeng B.* Carotenoids in Aquaculture: Fish and Crustaceans // Carotenoids. Vol. 4: Natural Functions. Basel: Birkhauser Verlag, 2008. –P. 237 254.
- Britton G. TLC of Carotenoids / Thin Layer Chromatography in Phytochemistry.

 Boca Raton: CRC Press, 2008. P. 543-574.
- Britton G. UV/Visible spectroscopy // Carotenoids. Vol 1B: Spectroscopy, Chapter 2. Basel: Birkhäuser, 1995. P. 13 62
- Chapman D. J. Formation and analysis of secondary carotenoids // Experimental phycology. A laboratory manual / Eds. Lobban C.S, Chapman D.J, Kremer B. Cambridge University Press, 1988. P. 104 110.
- Cooney J. J., Marks H. W., Smith A. M. Isolation and identification of canthaxanthin from Micrococcus roseus // J. Bacteriol. 1966. 92, No 2. P. 342 345.
- 11. *Czeczuga B., Czerpak R.* Investigations on the pigments of the *Apus cancriformis* (Bosc.) (Crustacea: Branchiopoda) // J. Hydrobiologia 1970. **35**, No 1. P. 163 –173.
- 12. Czygan F.-C. Primäre und secundäre Carotenoide in chlorokokkalen Algen // Arh. Hydrobiol. Suppl. 1982. **60**, No 4. P. 470 488.
- 13. Derviation of astaxanthin light absorption coefficients in different solvents // Technical report 1004.001. Aquasearch Inc., 1999. http://www.fda.gov.
- Eonseon J., Polle J. E., Lee H. K. et al. Xanthophylls in microalgae: from biosynthesis to biotechnological mass production and application // J. Microbial. Biotechnol. 2003. 13, N. 2. P. 165 174.
- 15. Fan L., Vonshak A., Gabbay R., Hirshberg J., Cohen, Z., Boussiba S. The biosynthetic pathway of astaxanthin in a green alga Haematococcus pluvialis as indicated by inhibitionwith diphenylamine // Plant Cell Physiol. 1995. 36. P. 1519 1524.
- 16. Fraser P.D., Miura Y., Misawa N. In vitro characterization of astaxanthin biosynthetic enzymes // J. Biol. Chem. 1997. 272. P. 6128-6135.
- 17. Grung M., Metzger P., Liaaen-Jensen S. Algal carotenoids 53; secondary carotenoids of Algae 4; secondary carotenoids in the green alga Botryococcus braunii, race L, new strain // J. Biochemical systematics and ecology. 1994. 22, No 1. P. 25 29.
- Hirschberg J., Harker M. Carotenoid-producing bacterial species and process for production of carotenoids using same // US Patent 5935808 – 1999.

- 19. *Jeffrey S.W., Mantoura R.F.C., Bjørnland T.* Data for identification of 47 key phytoplankton pigments / Phytoplankton pigments in oceanography: guedelinnes to modern metods. UNESCO Publishing: Paris, France, 1997. P. 493 553.
- 20. *Kopecký J., Schoefs B., Loest K.* et al. Microalgae as source for secondary carotenoid production: a screening study // Algological. Studies. 2000. **98**. P. 153 168.
- 21. *Laatsch H., Schwab D.* Identification and quantification of carotenoids and carotenoid esters from the foraminiferan *Allogromia laticollaris* Arnold // J. Foraminif. Res. 1984. **14,** No 1. P. 36 49.
- Liaaen Jensen S., Andrewes A. G. Analyses of carotenoids and related polyene pigments // Meth. Microbiol. – 1985. – 18. – P. 235 – 255.
- 23. Liu B-H., Lee Y-K. Composition and biosynthesis pathways of carotenoids in the astaxanthin-produsing green alga *Chlorococcum* sp. // Biotechnol. Lett. 1999. 21. P. 1007 1010.
- 24. *Lorenz R.T., Cysewski G.R.* Commercial potential for *Haematococcus* microalgae as a natural source of astaxanthin // Trends Biotechnol. 2000. **18**, No 4. P. 160 167.
- 25. *Margalith P.Z.* Production of ketocarotenoids by microalgae // Appl. Microbiol. Biotechnol. 1999. **51**. P. 431 438.
- 26. Negro J. J., Garrido-Fernandez J. Astaxanthin is the major carotenoid in tissues of white storks (Ciconia ciconia) feeding on introduced crayfish (Procambarus clarkii) // Comp. Biochem. Physiol. 2000. 126, No 3. P. 347 352.
- 27. Qin S., Liu G. X., Hu Z. Y., The accumulation and metabolism of astaxanthin in Scenedesmus obliquus (Chlorophyceae) // Process Biochem. 2008. 43. P. 795 802.
- 28. Rodriguez-Amaya D. B. A guide to carotenoid analysis in foods / Washington: ILSI Press, 2001. 71 p.
- 29. Wellburn A. R. The spectral determination of chlorophylls a and b, as well as total carotenoids, using various solvents with spectrophotometers of different resolution // J. Plant Physiol. 1994. 144. P. 307–313.
- 30. Yuan J-P., Chen F., Liu X., Li X-Z. Carotenoid composition in green microalga Chlorococcum // Food Chem. 2002 76, No 3 P. 319-325.
- 31. Zhang D. H., Lee Y. K., Ng M. L., Phang S. M. Composition and accumulation of secondary carotenoids in *Chlorococcum* sp. // J. Appl. Phycol. 1997. 9. P. 147 155.
- 32. Zang D. H., Lee Y.-K. Two-step process for ketocarotenoid production by a green alga, *Chlorococcum* sp. strain MA-1 // Appl. Microbiol. Biotechnol. 2001. P. 537 540.

Институт биологии южных морей НАН Украины

г. Севастополь, Украина

Получено 12.12.2009

І. В. ДРОБЕЦЬКА, І. М. ЧУБЧИКОВА, А. Б. БОРОВКОВ, Г. С. МІНЮК

ВИЗНАЧЕННЯ ВМІСТУ АСТАКСАНТИНА І КАНТАКСАНТИНА У ЗЕЛЕНИХ МІКРОВОДОРОСТЕЙ МЕТОДОМ ТОНКОШАРОВОЇ ХРОМАТОГРАФІЇ

Резюме

Запропоновано новий варіант методики визначення вмісту астаксантина і кантаксантина в біомасі зелених мікроводоростей-продуцентів кетокаротиноїдів з використанням послідовної одномірної тонкошарової хроматографії на пластинах ПТСХ-АФ-А в двох системах розчинників.

Ключові слова: мікроводорості, астаксантин, кантаксантин, тонкошарова хроматографія

I. V. D R O B E T S K A Y A, I. N. C H U B C H I K O V A, A. B. B O R O V K O V, G. S. M I N Y U K

DETERMINATION OF ASTAXANTHIN AND CANTHAXANTHIN CONTENT OF GREEN MICROALGAE BY THIN LAYER CHROMATOGRAPHY METHOD

Summary

A new method for determination of astaxanthin and canthaxanthin content in ketocarotenoid-producing green microalgae by sequential one-dimensional thin layer chromatography on "Sorbfil" plates $\Pi TCX-A\Phi$ -A in two solvent systems has been proposed.

Key words: microalgae, astaxanthin, canthaxanthin, thin layer chromatography